

(1-x)LaAlO₃-xCaTiO₃계의 마이크로파 유전 특성여동훈^{*0}, 윤석진*, 김현재*, 송준태**

*한국과학기술연구원 세라믹스부 **성균관대학교 전기공학과

Microwave Dielectric Properties of (1-x)LaAlO₃-xCaTiO₃Dong-Hun Yeo^{*0}, Seok-Jin Yoon*, Hyun-Jae Kim*, Joon-Tae Song**

* Div. of Ceramics, KIST

**Dept. of Electrical Eng., Sung Kyun Kwan Univ.

ABSTRACTS

The microwave dielectric properties of (1-x)LaAlO₃-xCaTiO₃ system were investigated. As the amount of LaAlO₃ increased, the value of the unloaded Q increased, but the dielectric constant (ϵ_r) decreased. The temperature coefficient of resonant frequency (τ_f) of 5ppm/°C was obtained from the composition of 0.35LaAlO₃-0.65CaTiO₃ in which the values of ϵ_r and $Q \cdot f_0$ were 42 and 32,500, respectively.

1. 서론

마이크로파용 유전체 재료가 일반적으로 갖추어야 할 조건은 유전율(ϵ_r)과 유전손실의 역수인 무부하 Q가 커야 하며, 공진주파수의 온도 의존성(τ_f)이 작아야 한다.¹⁾ 그러나 유전율이 큰 재료는 유전손실과 공진 주파수의 온도계수가 크기 때문에 유전율, 무부하 Q, 그리고 공진 주파수의 온도계수가 모두 우수한 유전체 재료는 합성하기 어렵다.

지금까지 개발된 대표적인 유전체 재료는 유전율이 20 - 30이고 높은 Q값을 갖는 Ba(Mg, Ta)O₃계($\epsilon_r=25$, $Q=16,800$ at=10.5GHz)²⁾, 유전율이 30 - 40이고 중간정도의 Q값을 갖는 (Zr, Sn)TiO₄계($\epsilon_r=36$, $Q=6,500$ at=7GHz)³⁾, 그리고 유전율이 80 - 90정도로 높으나 낮은 Q값을 갖는 (Ba,Pb)O-Nd₂O₃-TiO₂계($Q \cdot f_0=5,000$), (Pb, Ca)ZrO₃계⁴⁾ 등이 있다.

CaTiO₃의 경우, 2GHz에서 유전율이 170정도로 매우 높으나, $Q \cdot f_0$ 가 2,000정도로 매우 낮고, 온도계수가 +800ppm/°C로 매우 불안정하며, LaAlO₃는 유전율은 22 정도로 작으나 $Q \cdot f_0$ 가 46000정도로 높으며 온도계수가 -40~-50ppm/°C이다.

따라서 본 연구의 목적은 공진주파수의 온도계수가 불안정하여 실용화 할 수 없는 두 재료를 합성하여 유전율이 40이상이고 τ_f 를 영으로 조절 가능하며 중간 정도의 Q값을 갖는 새로운 xLaAlO₃-(1-x)CaTiO₃ 유전체 조성을 개발하고자 한다.

2. 실험 방법

2.1. 시편제작

본 실험에서는 산화물 혼합법으로 시편을 제작 하였으며, 순도 99% 이상의 CaCO₃, La₂O₃, TiO₂, 그리고 Al₂O₃를 사용하여 조성식에 따라 시료를 평량한 후, 알코올을 분산매로 24hr 동안 혼합분쇄 하였다. 100°C 오븐에서 완전히 건조시킨후 1400°C에서 4hrs 동안 하소 하였다. 하소된 분말을 24hr 동안 2차 분쇄 한 후 100°C 오븐에서 24hrs 동안 건조시켰다. 분말을 원통형 금형($\varphi = 12mm$)을 이용하여 1ton/cm²의 압력에서 가압, 성형 한후 대기 중에서 1600°C의 온도에서 5시간 동안 소결하였다. 시편들의 마이크로파 유전특성을 측정하기 위하여 시편의 높이/직경의 비가 0.4 - 0.5가 되도록 표면을 연마하였다.

2.2. 특성 측정

조성과 온도변화에 따른 시편의 소결특성과 상변화를 관찰하기 위하여 Philip사의 X-ray generator를 사용하여 회절각(2θ) 20° ~ 80°의 범위에서 X선 회절분석을 하였다. 소결된 시편의 표면을 연마한 후, 열에칭을 하여 주사전자 현미경 SEM(Hitachi-S4200)으로 미세조직을 관찰하였다. 시편의 높이/직경의 비가 0.4-0.5이고 표면이 잘 연마된 시편을 두 평행 도체판 사이에 넣고 Network Analyzer(HP 8720C)를 사용하여 Hakki-Coleman방법⁵⁾으로 TE₀₁₁ 모드에서 공진주파수와 삼입 손실 그리고 3dB에서의 대역폭(band width)을 측정하고, program한 algorithm을 이용하여 유전체의 품질계수(Q)와 유전율(ϵ_r)을 계산했다. 공진주파수의 온도계수(τ_f)는 25[°C]에서 80[°C]의 공진주파수를 추정하여 다음 식(1)에 의해 구했다.

$$\tau_f = \frac{(f_{80} - f_{25})}{f_{25}(80 - 25)} \times 10^6 (\text{ppm}/\text{°C}) \quad (1)$$

3. 결과 및 고찰

그림 1은 (1-x)LaAlO₃ - xCaTiO₃(x = 0.3, 0.4, 0.5, 0.6, 0.7,

[mol] 시편의 XRD pattern이다. LaAlO_3 는 $a=3.78\text{\AA}$ 이고 $\alpha = 90^\circ$ 인 Rhombohedral 구조이다. 그러나 CaTiO_3 와 화합물을 이를 경우 Orthorhombic 구조를 갖으며, LaAlO_3 양이 증가함수록 단위정의 크기는 미세하게 감소함을 관찰할 수 있다. 이것은 $\text{Ca}^{+2}(99[\text{A}])$ 는 $\text{La}^{+3}(106[\text{A}])$ 보다 $8[\text{A}]$ 정도 작으나 $\text{Ti}(68[\text{A}])$ 는 $\text{Al}^{+3}(50[\text{A}])$ 보다 $18[\text{A}]$ 정도 크기 때문이다.

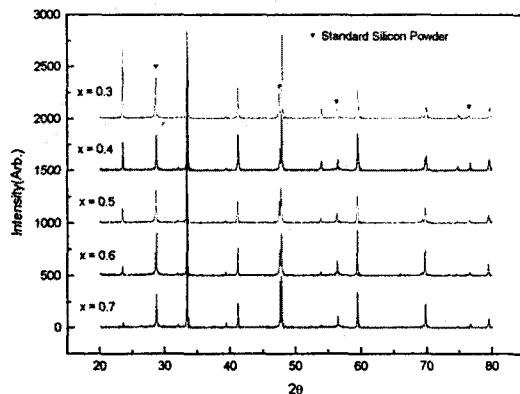


그림 1. CaTiO_3 의 함량에 따른 X-선 회절 모양

사진1은 CaTiO_3 와 LaAlO_3 의 조성비의 변화에 따른 소결시편의 미세구조이다. 미세구조에서 볼 수 있는 것처럼 $x=0.7, 0.6, 0.5$ 에서 입자의 크기가 증가하다가 $x=0.4$ 에서는 급격히 입자크기가 작아졌으며, $x=0.3$ 에서 다시 급격히 증가하는 경향을 보였다. 이는 $x=0.4$ 에서 주상이 CaTiO_3 에서 LaAlO_3 로 바뀌기 때문이며, 실제로 소결 시편의 색깔도 고동색에서 이 조성에서만 흰색으로 바뀌었다.

그림2는 $(1-x)\text{LaAlO}_3 - x\text{CaTiO}_3$ 를 1600°C 에서 5시간 동안 소결한 시편의 밀도 변화를 나타낸 것이다. 시편들의 소결밀도는 LaAlO_3 의 함량이 $0.3[\text{mol}]$ 일 경우 $4.48[\text{g}/\text{cm}^3]$ 에서 $0.7[\text{mol}]$ 일 경우 $5.48[\text{g}/\text{cm}^3]$ 로 LaAlO_3 의 함량이 증가함에 따라 소결밀도는 증가하였다. $\text{Ca}(\text{M.W}=40.1)$ 에 비해 상대적으로 원자량이 큰 $\text{La}(\text{M.W}=139)$ 이 A site에 고용되어 밀도가 증가된 것으로 사료된다.

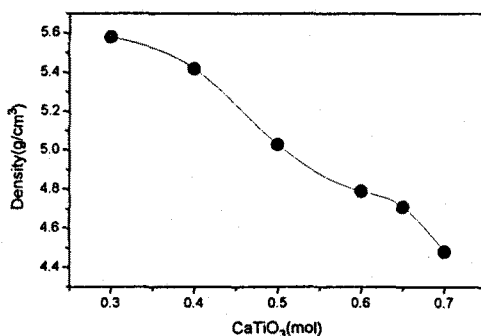


그림 2. CaTiO_3 의 함량에 따른 밀도

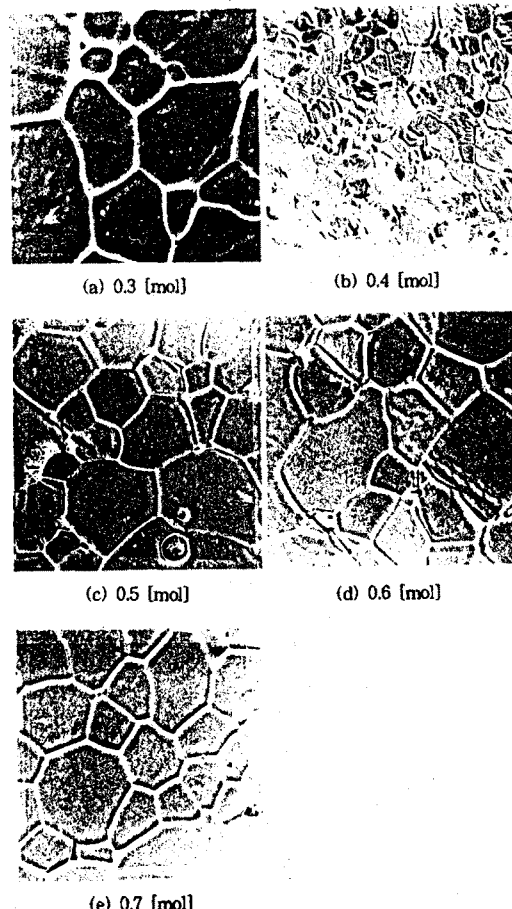


사진 1. CaTiO_3 의 함량에 따른 시편의 미세구조

그림 3과 4는 조성의 변화에 따른 $(1-x)\text{LaAlO}_3 - x\text{CaTiO}_3$ 계의 유전상수와 $Q \cdot f_0$ 값이다. 유전율이 170 정도인 CaTiO_3 와 유전율이 22 정도로 작은 LaAlO_3 를 고용했을 때, 유전체에서 일반적으로 적용되는 mixing rule⁶에 의해 LaAlO_3 의 함량이 $0.3[\text{mol}]$ 에서 $0.7[\text{mol}]$ 로 증가함에 따라 유전상수는 45 에서 25 로 선형적으로 감소하였다. $Q \cdot f_0$ 는 0.5LaAlO_3 까지는 급격히 증가하나, 주조성이 CaTiO_3 에서 LaAlO_3 로 바뀌는 0.6LaAlO_3 에

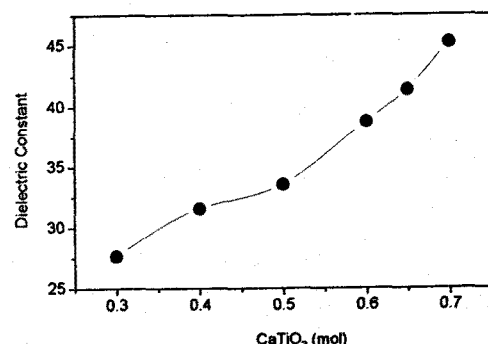


그림 3. CaTiO_3 의 함량에 따른 유전율

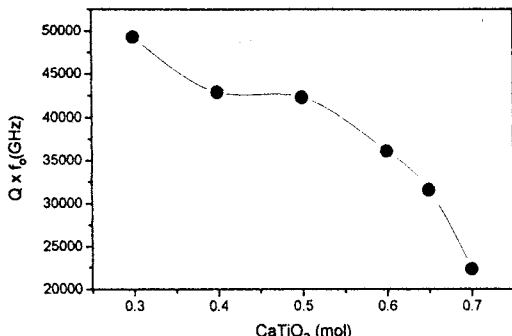


그림 4. CaTiO₃의 함량에 따른 $Q \cdot f_0$

서는 값이 0.5LaAlO₃와 변화가 없었으며, LaAlO₃의 함량이 0.7[mol]에서는 다시 증가한다. 그림5에서 처럼 τ_f 는 LaAlO₃ 함량이 증가함에 따라 감소하며, LaAlO₃의 함량이 0.35[mol]에서는 τ_f 는 5를 나타내었다. 결과적으로 0.35LaAlO₃-0.65CaTiO₃조성에서 τ_f 는 5, ϵ_r 은 42, 그리고 $Q \cdot f_0$ 는 32,500인 마이크로파 유전 재료를 얻을 수 있었다.

2. S. Nomura, K. Toyama, and K. Kaneta, "Ba(Mg_{1/3}Ta_{2/3})O₃ Ceramics with Temperature-Stable High Dielectric Constant and Low Microwave Loss", Jpn. J. Appl. Phys., 21, L624, (1982)
3. G. Wolfram, and H. E. Gobel, "Existence Range Structural and Dielectric Properties of Zr_xTi_ySn_zO₄ Ceramics (x+y+z=2)", Mater. Res. Bull., 16, p1455 (1981)
4. J. Kato and H. Kagata, "Dielectric Properties of Lead Alkaline-Earth Zirconate at Microwave Frequencies", Jpn. J. Appl. Phys., 30, p2343 (1991)
5. Hakki and Coleman, "A Dielectric Resonator Method of Measuring Inductive Capacitance in the Millimeter Range", IRE Trans. Microwave Theory Technol., 16, p402 (1960).
6. R. C. Buchanan, "Ceramic Materials for Electronics", MARCEL DEKKER INC., New York and Basel, (1986)

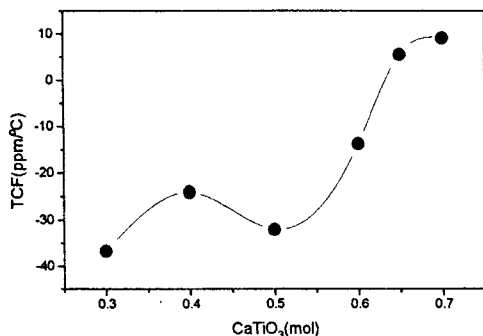


그림 5. CaTiO₃의 함량에 따른 공진 주파수의 온도계수

4. 결론

1. (1-x)LaAlO₃-xCaTiO₃(x=0.3, 0.4, 0.5, 0.6, 0.7,[mol])의 조성은 완전한 고용을 이루었으며, 유전율과 공진 주파수의 온도 계수는 mixing rule에 따라 LaAlO₃의 고용량이 증가함에 따라 감소하였다.
2. 0.35LaAlO₃-0.65CaTiO₃의 조성에서 $Q \cdot f_0 = 32,500$, $\epsilon_r = 42$, $\tau_f = 5$ ppm/°C의 우수한 마이크로파 유전 특성을 갖는 유전체를 제조할 수 있었다.
3. 공진 주파수의 온도 계수는 LaAlO₃의 고용량을 조절함으로써 0 ppm/°C를 기준으로 조절이 가능하였다.

참고문헌

1. B. C. H. Steele, "Electronic Ceramics", Elsevier Sci. Publ. Co., New York, p.65 (1991).